

Explication des planches

Objektyp: **Chapter**

Zeitschrift: **Beiträge zur Kryptogamenflora der Schweiz = Matériaux pour la flore cryptogamique suisse = Contributi per lo studio della flora crittogama svizzera**

Band (Jahr): **9 (1939)**

Heft 2

PDF erstellt am: **30.06.2024**

Nutzungsbedingungen

Die ETH-Bibliothek ist Anbieterin der digitalisierten Zeitschriften. Sie besitzt keine Urheberrechte an den Inhalten der Zeitschriften. Die Rechte liegen in der Regel bei den Herausgebern.

Die auf der Plattform e-periodica veröffentlichten Dokumente stehen für nicht-kommerzielle Zwecke in Lehre und Forschung sowie für die private Nutzung frei zur Verfügung. Einzelne Dateien oder Ausdrucke aus diesem Angebot können zusammen mit diesen Nutzungsbedingungen und den korrekten Herkunftsbezeichnungen weitergegeben werden.

Das Veröffentlichen von Bildern in Print- und Online-Publikationen ist nur mit vorheriger Genehmigung der Rechteinhaber erlaubt. Die systematische Speicherung von Teilen des elektronischen Angebots auf anderen Servern bedarf ebenfalls des schriftlichen Einverständnisses der Rechteinhaber.

Haftungsausschluss

Alle Angaben erfolgen ohne Gewähr für Vollständigkeit oder Richtigkeit. Es wird keine Haftung übernommen für Schäden durch die Verwendung von Informationen aus diesem Online-Angebot oder durch das Fehlen von Informationen. Dies gilt auch für Inhalte Dritter, die über dieses Angebot zugänglich sind.

Explication des planches

PLANCHE 1

- Fig. 1. *Hypodermella conjuncta*. Coupe transversale de la fructification. Comparer la forme typique de l'apothécie avec celle atypique des *Phacidium*. 163 X. (Beaulx, VIII.1924, coll. Malcolm Wilson, co-type.)
- Fig. 2. *Phacidium lacerum*. Coupe transversale de la fructification montrant la structure de la strate tectrice à hyphes verticales qui forment des franges dans la cavité suprahyméniale. 163 X. (*Pinus silvestris*, Upsala-Ultuna, 19.IV.1936 !)

PLANCHE 2

- Fig. 1. *Phacidium infestans*. 163 X. (*Pinus silvestris*, Suède, Porjus Harsprånget, 19.VII.1936 !)
- Fig. 2. *Phacidium pini-cembrae*. Noter les asques plus courts que chez le *Ph. infestans*. 163 X. (*Pinus Cembra*, Zermatt, 30.VII.1938 !)

PLANCHE 3

- Fig. 1. *Ceuthospora phacidioides*. Coupe transversale du stroma montrant les loges prenant naissance dans une cavité non différenciée du stroma primaire. 104 X. (*Ilex aquifolium*, Lausanne, Parc « Mon Repos », 14.I.1939 !)
- Fig. 2. *Phacidiostroma multivalve*. Coupe transversale du stroma. Celui-ci, limité par une zone noire, est fertile sur les deux faces de la feuille. 54 X. (Libert, Pl. crypt. ard. 367.)
- Fig. 3. *Phacidiostroma multivalve*. Coupe transversale du stroma, angle de la fructification. On reconnaît la structure prismatique du stroma différencié dans lequel apparaissent les asques. Il n'y a pas formation de cupule comme chez les *Hypodermatacées*. 453 X. (Libert, Pl. crypt. ard. 367.)

PLANCHE 4

- Fig. 1. *Placuntium andromedae*. Coupe transversale du stroma. Celui-ci n'occupe pas toute l'épaisseur de la feuille, mais il est développé à la face supérieure et à la face inférieure où il n'est pas fertile. Les apothécies ne sont pas individualisées comme chez *Rhytisma acerinum*. Cf. pl. 11, fig. 4. 85 X. (Nannfeldt, 26.3.1927.)
- Fig. 2. *Hypodermella laricis*. Asques et spores. Noter la forme caractéristique de ces dernières. 487 X. (*Larix europaea*, Sils-Maria, XII.1934, leg. H. Schmid, Herb. E. P. F.)

PLANCHE 5

- Fig. 1. *Coccomyces delta*. Coupe transversale. 75 ×. (R a b e n h. F. eur. 3363.)
- Fig. 2. *Coccomyces delta*. Coupe transversale de la strate tectrice montrant le mécanisme d'ouverture. 464 ×. (R a b e n h. F. eur. 3363.)
- Fig. 3. *Hypoderma rubi*. Coupe transversale de la fructification. Noter l'épaississement lenticulaire vers l'ouverture et la garniture de cellules labiales. 163 ×. (*Rubus allegheniensis*, M i l l e r 3345, Herb. N a n n f.)
- Fig. 4. *Hypoderma scirpinum*. Coupe transversale. Pas de système d'ouverture, pas d'épaississement lenticulaire. La strate basale fait défaut, seules les cellules de l'hôte sont remplies d'une matière foncée. Pour les spores, voir pl. 8, fig. 3. 163 ×. (Türlensee, 30.IX.1937 !)

PLANCHE 6

- Fig. 1. *Lophodermium* « *cladophilum* ». Coupe transversale d'une partie de l'apothécie. Noter l'irrégularité de la strate tectrice et la texture prismatique de l'angle du stroma. 375 ×. (R a b e n h. F. eur. 157.)
- Fig. 2. *Lophodermium xylomoides*. La strate tectrice vue de face. On distingue au centre le système d'ouverture. Les cellules labiales ne sont pas encore développées, mais on reconnaît la ligne où elles apparaîtront. Celle-ci, bordée de deux bandes fortement carbonisées s'arrête à quelque distance des extrémités de la strate. De chaque côté du « slit band » une zone plus claire, parallèlement aux lèvres. Les lobes des marges du stroma de structure aliforme peu visibles sur la photographie. 109 ×. (*Crataegus monogyna*, Corse : Corte, 13.IV.1938 !)
- Fig. 3. *Sporomega degenerans*. Coupe transversale de la fructification, pas de mécanisme d'ouverture, apothécie fortement concave rappelant plutôt la couche hyméniale des « *Pyrénomycètes* ». Comparer la figure 38 b apud Nannfeldt. 85 ×. (L i b e r t, Pl. crypt. ard. 270.)
- Fig. 4. *Colpoma quercinum*. Coupe transversale de la fructification montrant nettement la cupule immergée dans le stroma. 61 ×. (*Quercus* sp., Suède : Sofiberg près Aaraslöv, 28.V.1936 !)

PLANCHE 7

- Fig. 1. *Hypoderma commune* f. *solidaginis*. Marge de la fructification montrant le mycélium aliforme. 487 ×. (*Solidago canadensis*, Murgufer bei Etzi, 15.X.92, leg. W e g e l i n. Herb. E. P. F.)
- Fig. 2. *Lophodermium alpinum*. Marge de la fructification vue de face. Pas de mycélium aliforme et pas d'hyphopodes. 416 ×. (*Sesleria coerulea*, Muchetta 9.VIII.1937 !)
- Fig. 3. *Hypoderma vincetoxici*. Strate basale montrant — au bas de l'image, sous forme d'une plage noire — le foyer d'où divergent les hyphes formant un tissu aliforme. 441 ×. (*Vincetoxicum officinale*, Frinvilier, 26.VI.1937 !)
- Fig. 4. *Lophodermium alpinum*. Habitus 41 ×. (*Sesleria coerulea*, Muchetta, 9.VIII.1937 !)

PLANCHE 8

- Fig. 1. *Bifusella linearis*. Spores et asques. Remarquer le sommet tronqué des asques, les fuseaux des spores subégaux. 383 X. (Th u e m e n, Mycoth. univ. 1073.)
- Fig. 2. *Duplicaria empetri*. Asques et spores. Les asques à sommet conique, les spores à fuseaux inégaux. 383 X. (Th u e m e n, Mycoth. univ. 771.)
- Fig. 3. *Hypoderma scirpinum*. Asques et spores. Spores différentes du type *Hypoderma*. Comparer les spores d'*Elytroderma* apud Darker Pl. XVI, fig. 10. 453 X. (*Scirpus lacustris*, Türlensee, 30.IX.1937 !)
- Fig. 4. *Lophodermium alpinum*. Asques et spores. Remarquer la forme clavulée des spores. L'épaisse gaine gélatineuse est peu visible sur la photo. 600 X. (*Sesleria coerulea*, Muchetta, 9.VIII.1937 !)

PLANCHE 9

- Fig. 1. *Hypodermella macrospora*. Pas de mécanisme d'ouverture. Faible carbonisation de la strate tectrice. 163 X. (*Picea excelsa*, Upsala, Åsen, 19.IV.1936 !)
- Fig. 2. *Lophodermium piceae*. Fructification ayant à peu près terminé l'éjaculation des spores. Pas de système d'ouverture, lèvres non renforcées. Structure de la strate tectrice différente de la figure 1. 163 X. (*Picea excelsa*, Upsala, Kåboskogen, 18.IV.1936 !)

PLANCHE 10

- Fig. 1. *Lophodermium ? piceae*. Coupe à travers une jeune fructification. La strate tectrice est déjà développée. La strate basale présente, mais non encore carbonisée. Entre les deux, réseau d'hyphes très lâche. (Courgenay, *Abies alba*.)
- Fig. 2. *Lophodermium melaleucum*. Coupe à travers une jeune fructification à un stade plus avancé que fig. 1. Les deux strates développées et carbonisées. Les futures paraphyses sont dressées et parallèles. Cette figure correspond à celle de J o n e s 17 a. Noter que la strate tectrice n'est pas en contact avec les paraphyses. 163 X. (*Vacc. vitis idaea*, Upsala, 5.V.1936 !)
- Fig. 3. *Lophodermium paeoniae*. La strate tectrice ne montre pas encore de renforcement carbonisé des lèvres. 200 X.
- Fig. 4. *Lophodermium paeoniae*. Mécanisme d'ouverture avec cellules labiales. Noter de même que sur la fig. 5, au centre et à la partie inférieure de la strate basale, le foyer d'où divergent les hyphes qui la constituent. Cf. *Hypoderma vincetoxici* pl. 7, fig. 3. 200 X.
- Fig. 5. *Lophodermium paeoniae*. Stade intermédiaire entre fig. 3 et 4, la strate tectrice s'est rompue, les cellules labiales ne sont pas encore formées. 163 X. (L u n d e l l e t N a n n f e l d t, F. exs. suec. 384.)

PLANCHE 11

- Fig. 1. *Lophodermium herbarum*. Fructification encore fermée, le mécanisme d'ouverture bien développé, strate tectrice à carbonisation diminuant d'intensité de l'extérieur vers l'intérieur. Seule la paroi en contact avec l'hôte est foncée à la strate basale. 163 X. (*Convallaria maialis*, Upsala, Stadsbogen, 3.V.1936 !)
- Fig. 2. *Lophodermium festucae*. Coupe transversale d'une jeune fructification montrant le mécanisme d'ouverture fortement carbonisé, tandis que la strate tectrice et la strate basale le sont faiblement. A remarquer aussi la forme circulaire et non lenticulaire. Ici également seule la paroi extérieure de la strate basale est carbonisée. 163 X. (*Festuca rubra*, Upsala—Ekeby, 12.V.1936 !)
- Fig. 3. *Lophodermium apiculatum*. Coupe transversale. Noter le fort développement de la strate tectrice et de la strate basale. La jeune apothécie est très nette à l'intérieur du stroma. 163 X. (*Calamagrostis villosa*, Predelp/Faido, 27.V.1935 !)
- Fig. 4. *Rhytisma acerinum*. Coupe à travers une jeune apothécie et le stroma. Noter l'individualisation des apothécies par formation d'une « strate basale » intrastromatique. (Herb. N a n n f e l d t, 12.X.1930.)

PLANCHE 12

- Fig. 1. *Lophodermium arundinaceum*. Strate tectrice et strate basale fortement développées et fortement nigrifiées. Le mécanisme avec cellules labiales. L'apothécie est nette. 163 X. (*Phragmites communis*, N a n n f e l d t, N° 1949.)
- Fig. 2. *Lophodermium melaleucum*. Noter le fort développement de la strate tectrice qui rappelle *Loph. arundinaceum*. 190 X. (*Vacc. vitis idaea*, N a n n f e l d t, N° 1963.)
- Fig. 3. *Lophodermium pinastri*. La nigrification des lèvres est intense, mais diffuse. Noter le développement intraépidermique de la strate tectrice au centre de la fructification et à la valve droite, tandis qu'il est subépidermique à la valve gauche. 163 X. (*Pinus silvestris*, N a n n f e l d t, 30.V.1927.)
- Fig. 4. *Lophodermium berberidis*. Fructification ouverte. Le mécanisme d'ouverture différent des formes précédentes, nigrification des lèvres non pas concentrée à la base du mécanisme, mais réparti à peu près également sur toute la hauteur de la strate tectrice. 163 X. (N a n n f e l d t, 23.V.26.)

Planche 1

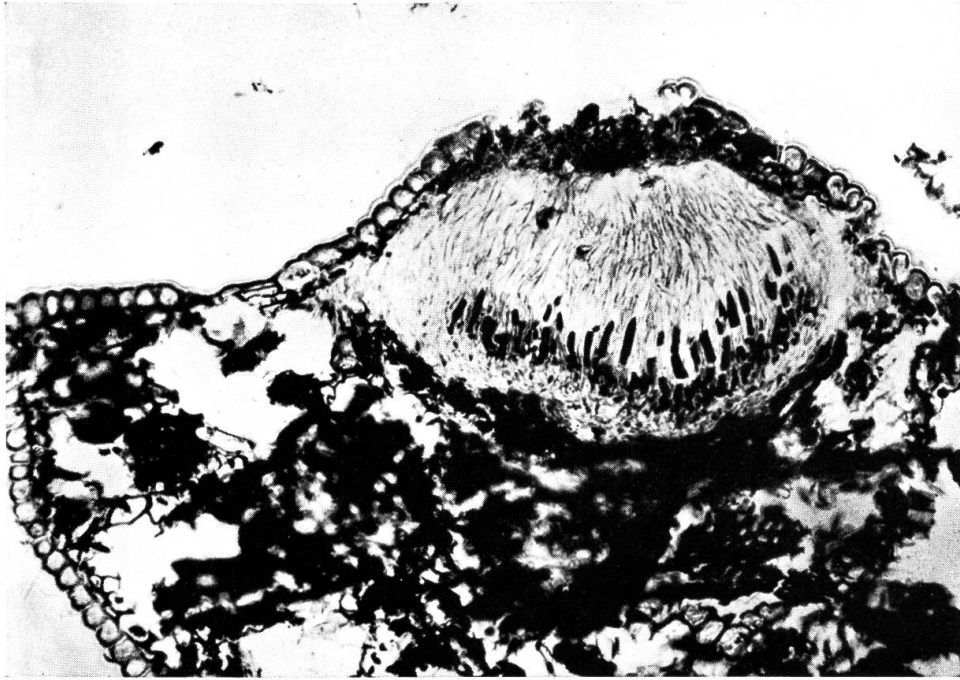


Fig. 1

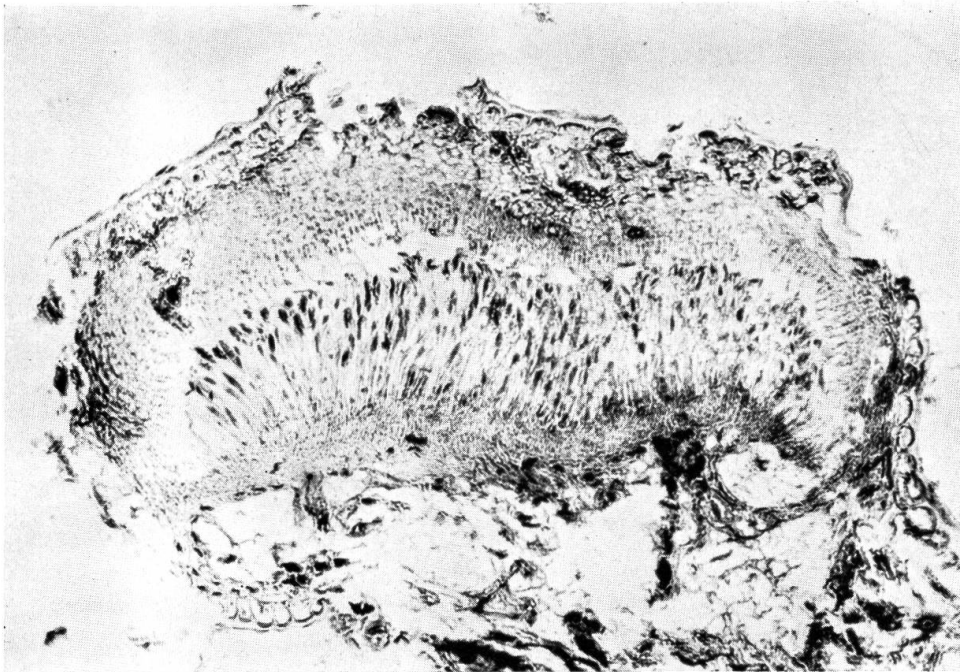


Fig. 2

Planche 2

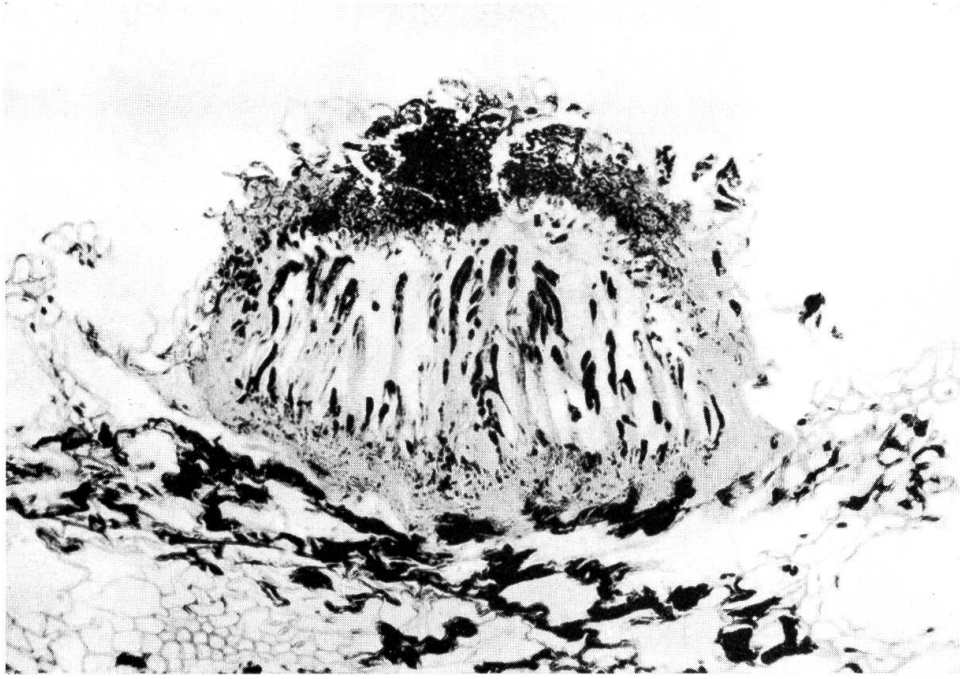


Fig. 1

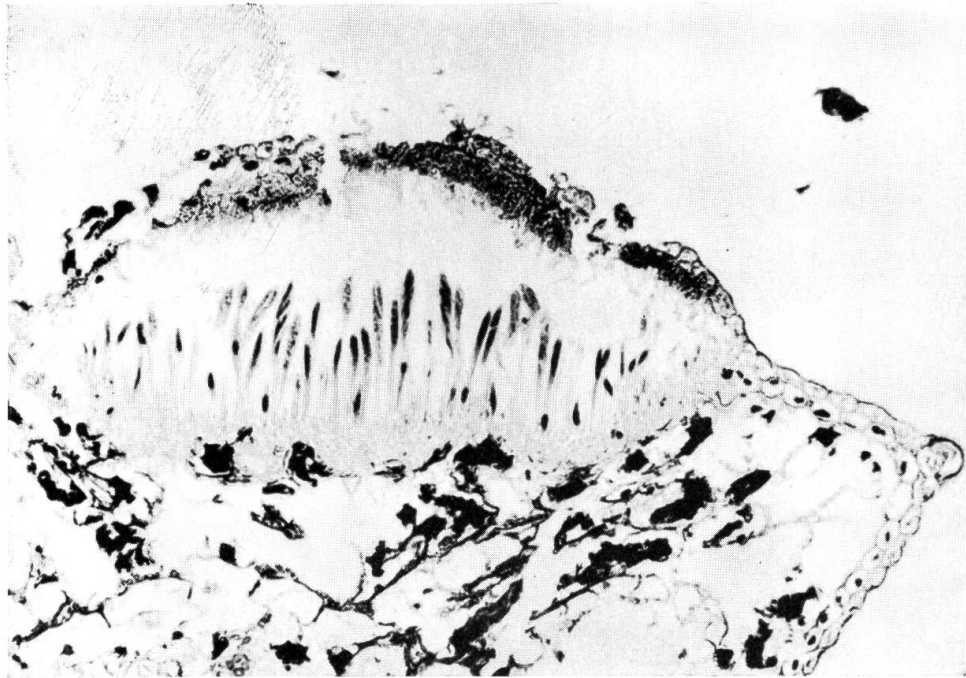


Fig. 2

Planche 3



Fig. 1

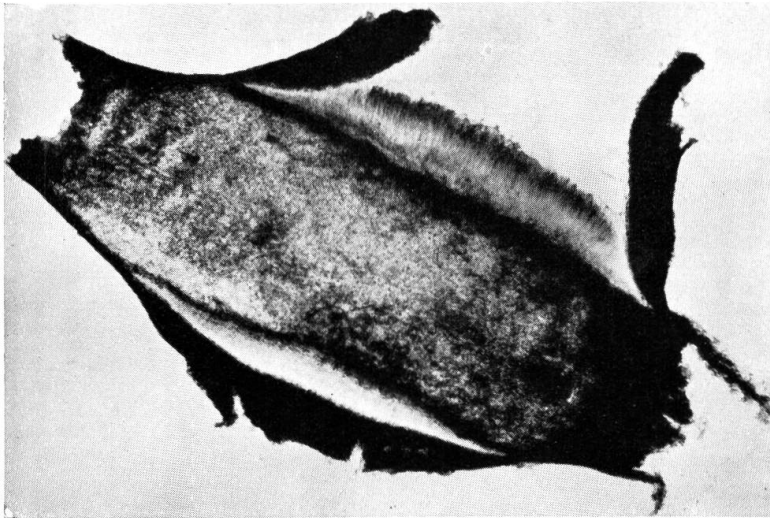


Fig. 2

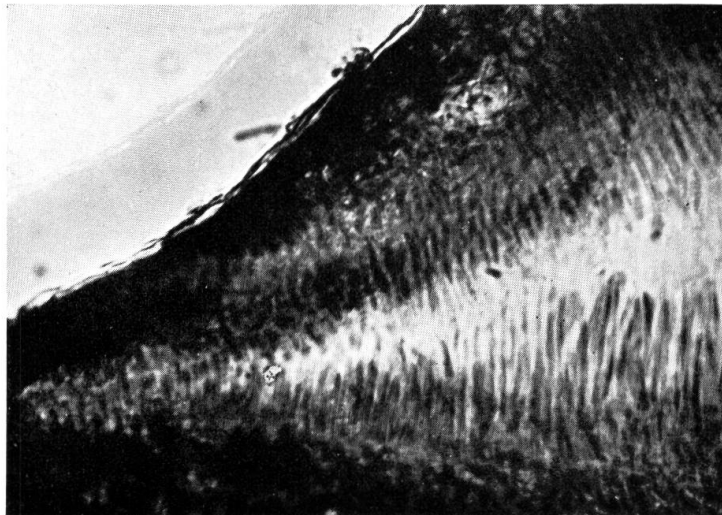


Fig. 3

Planche 4

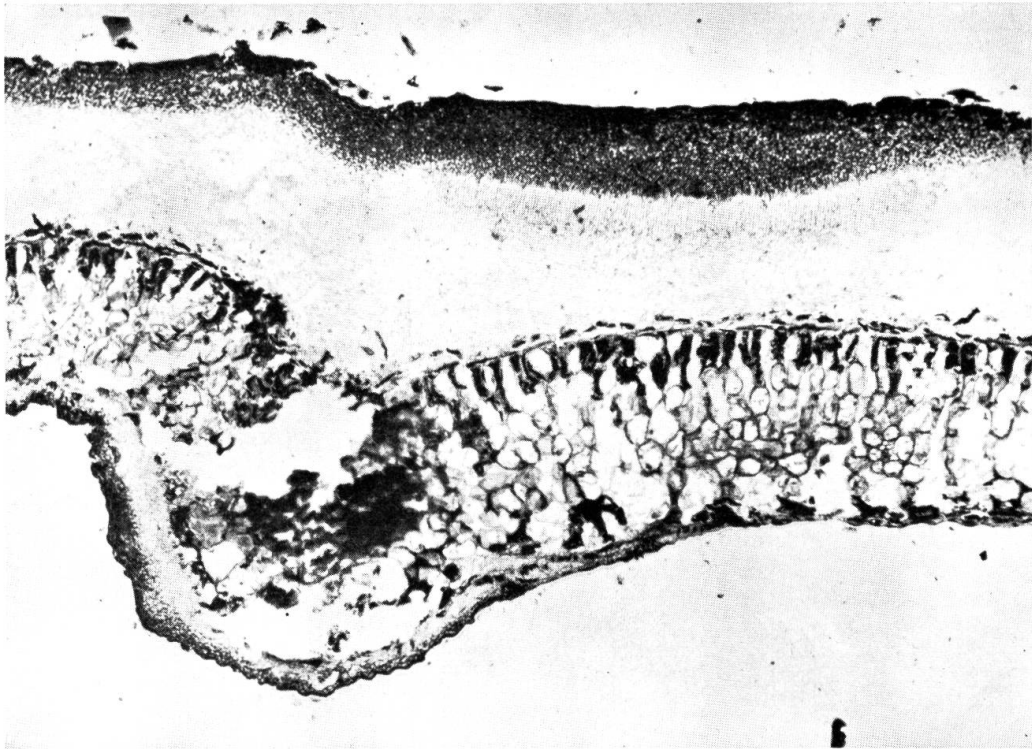


Fig. 1

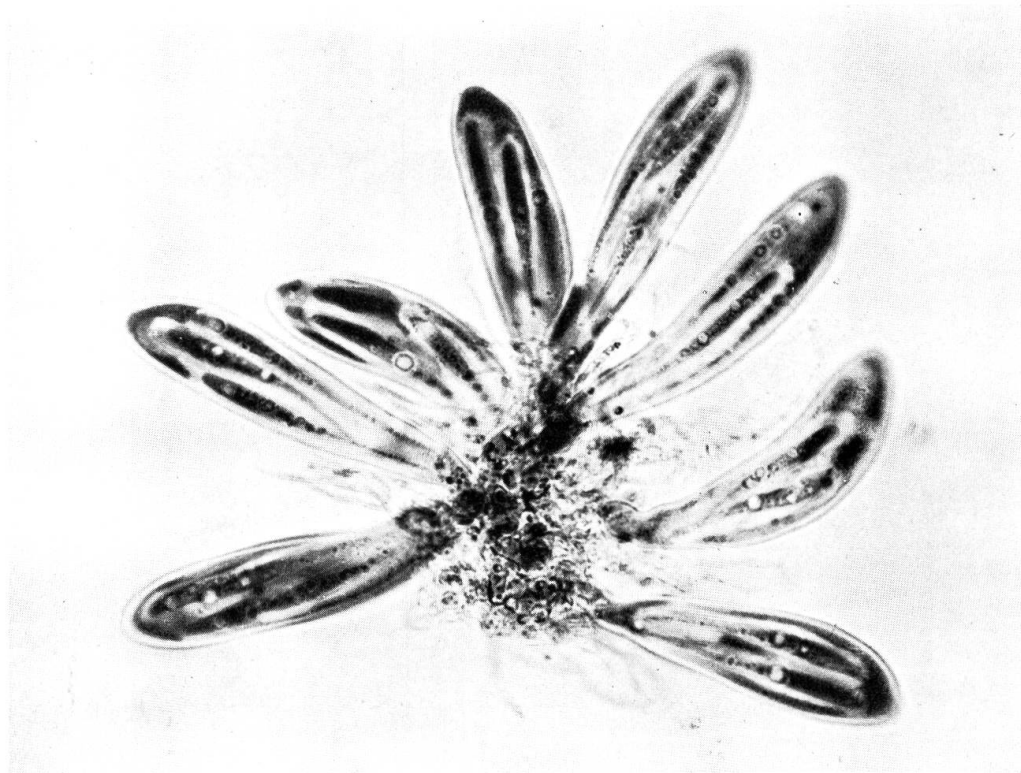


Fig. 2

Planche 5

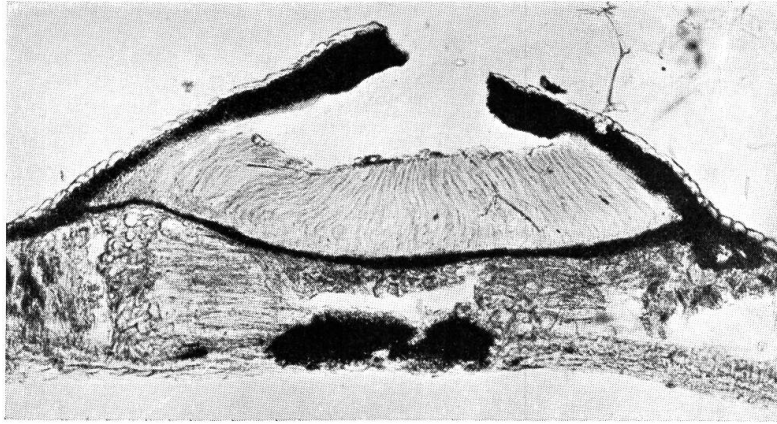


Fig. 1

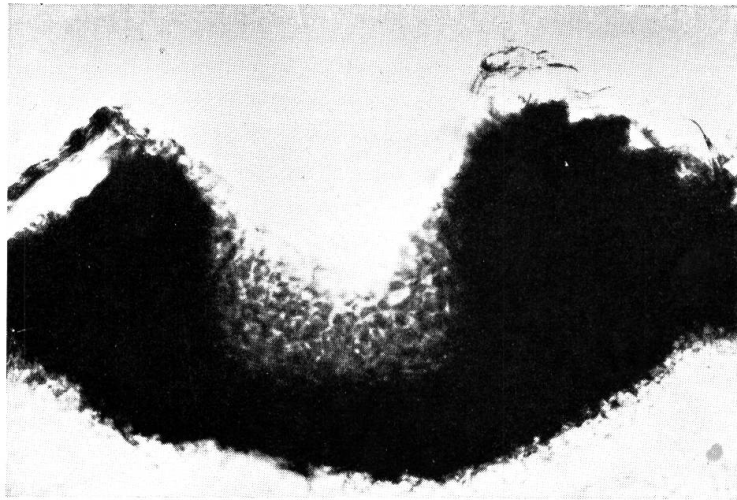


Fig. 2

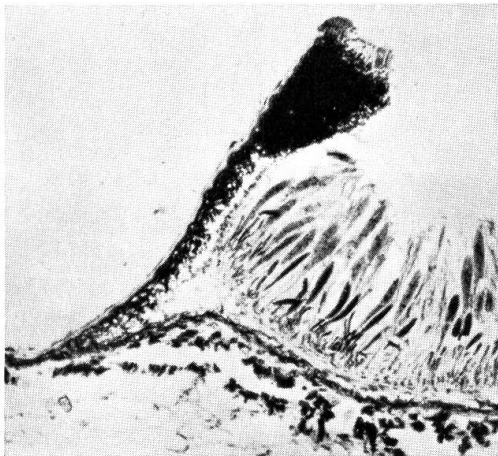


Fig. 3



Fig. 4

Planche 6



Fig. 1

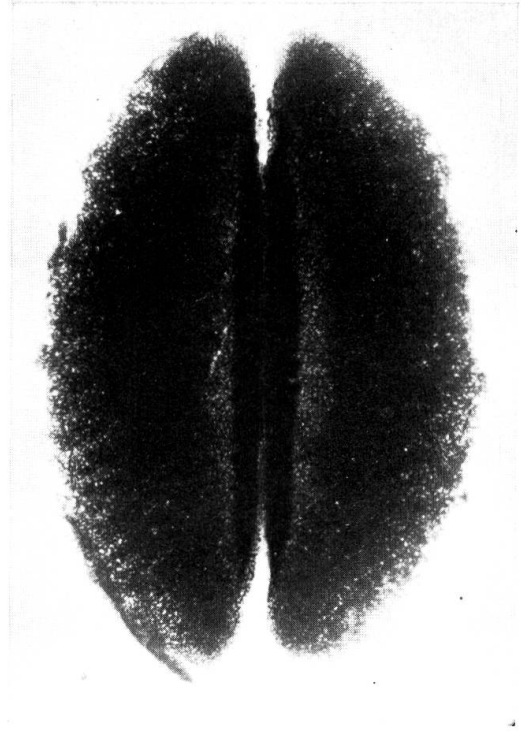


Fig. 2

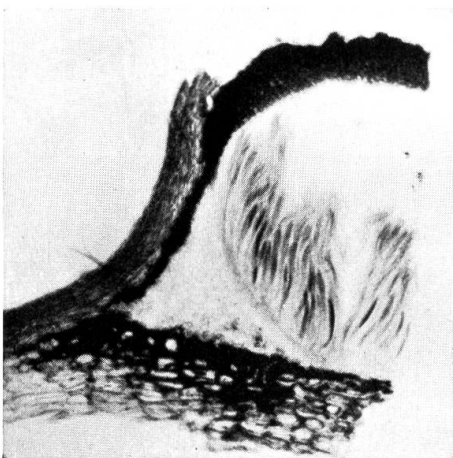


Fig. 3

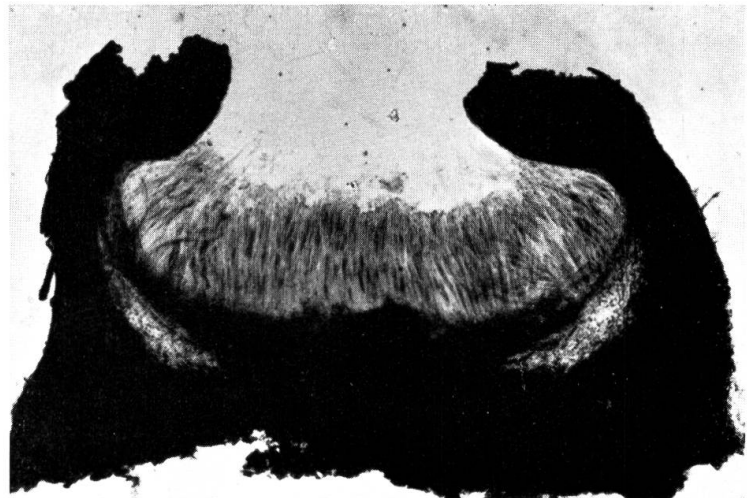


Fig. 4

Planche 7

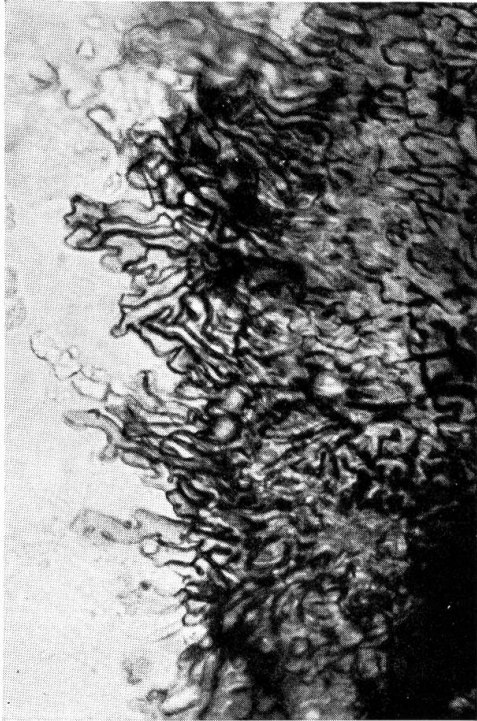


Fig. 1



Fig. 2



Fig. 3

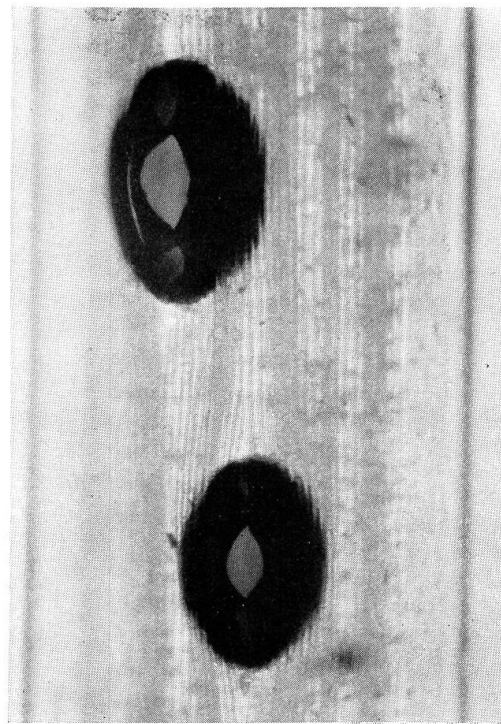


Fig. 4

Planche 8

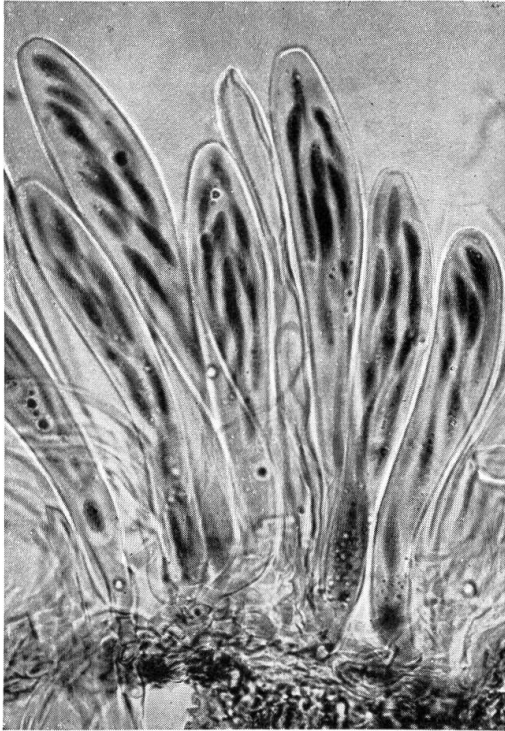


Fig. 1



Fig. 2

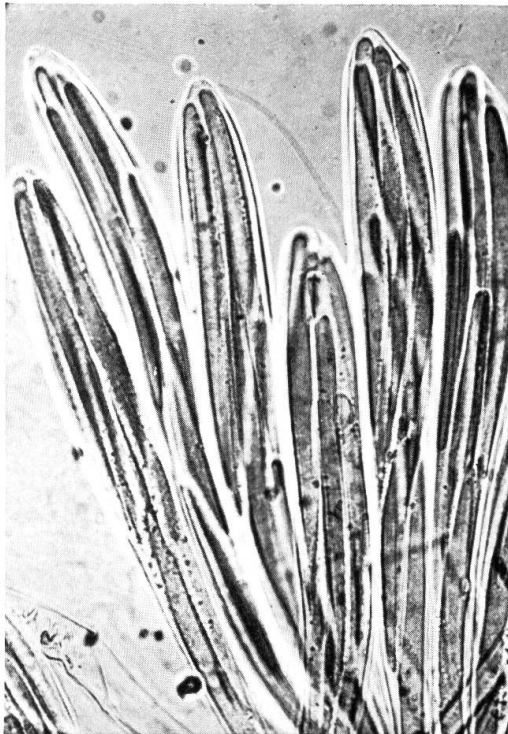


Fig. 3



Fig. 4

Planche 9

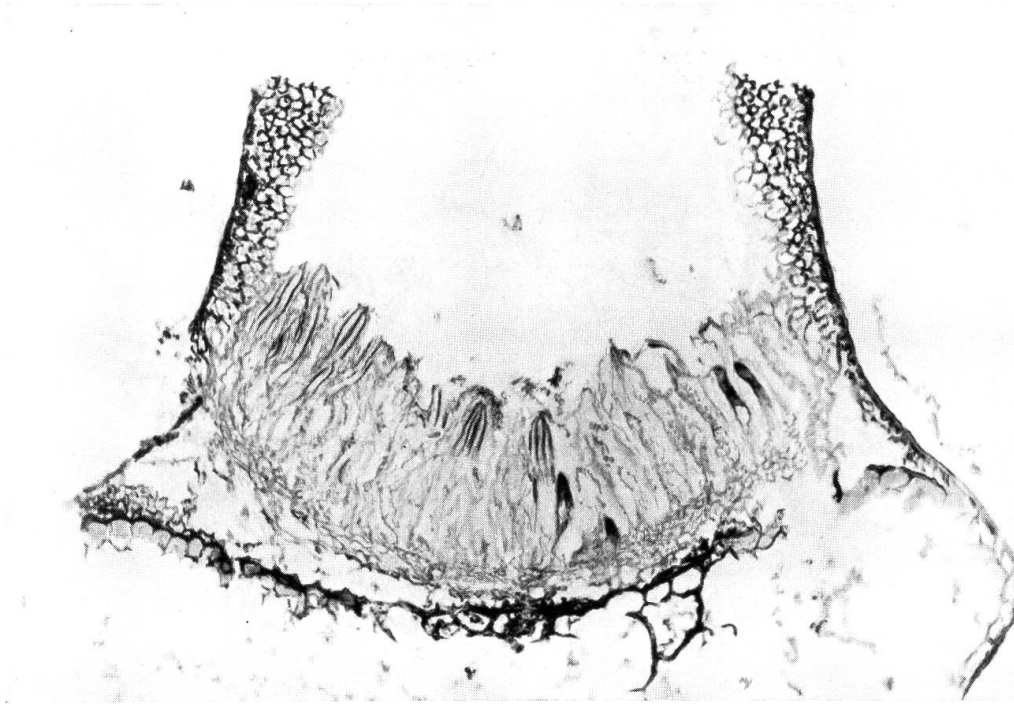


Fig 1



Fig. 2

Planche 10

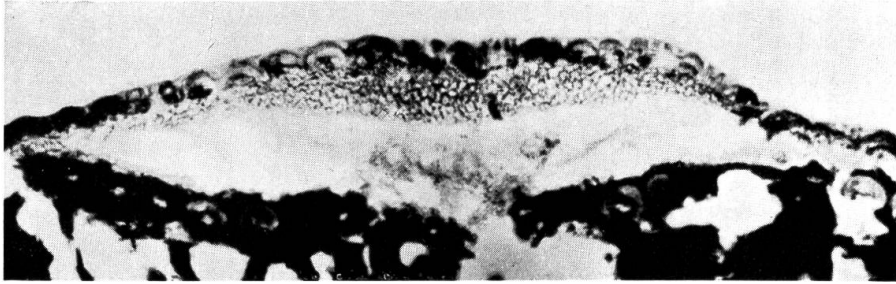


Fig. 1

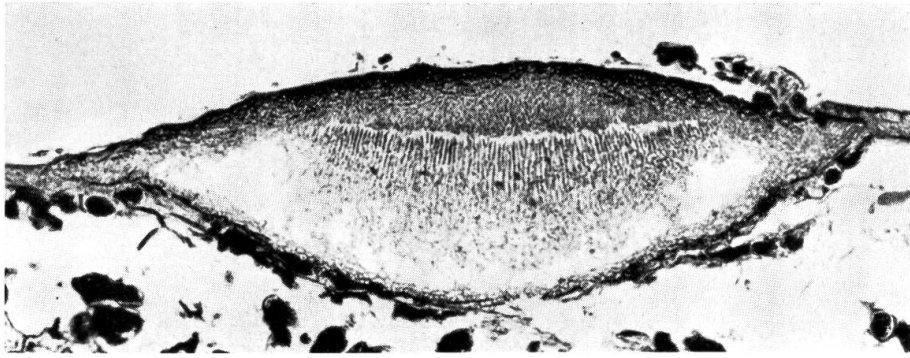


Fig. 2

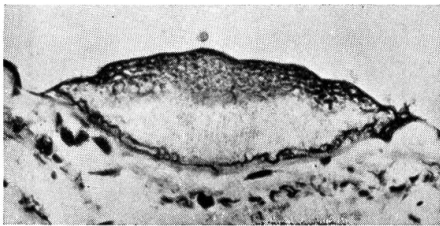


Fig. 3

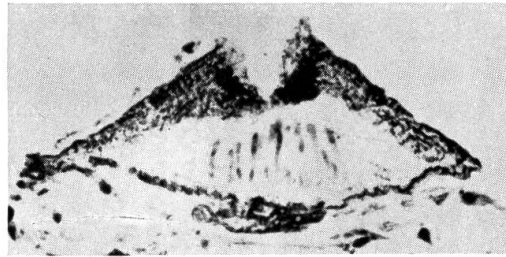


Fig. 4

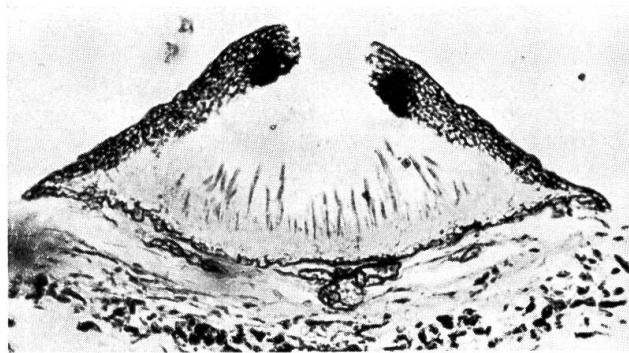


Fig. 5

Planche 11

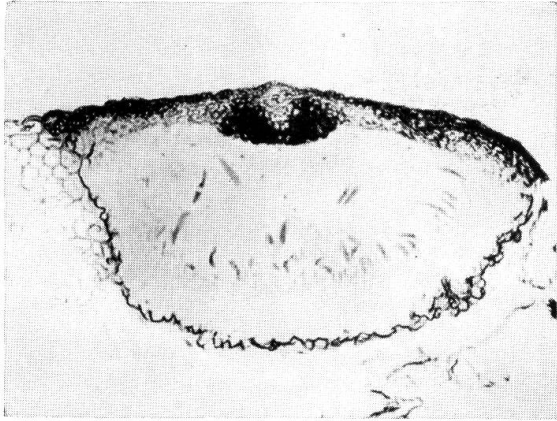


Fig. 1

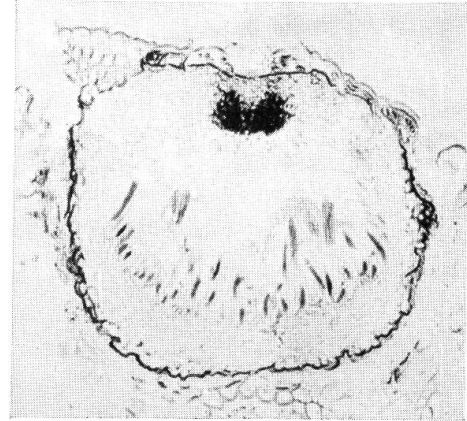


Fig. 2

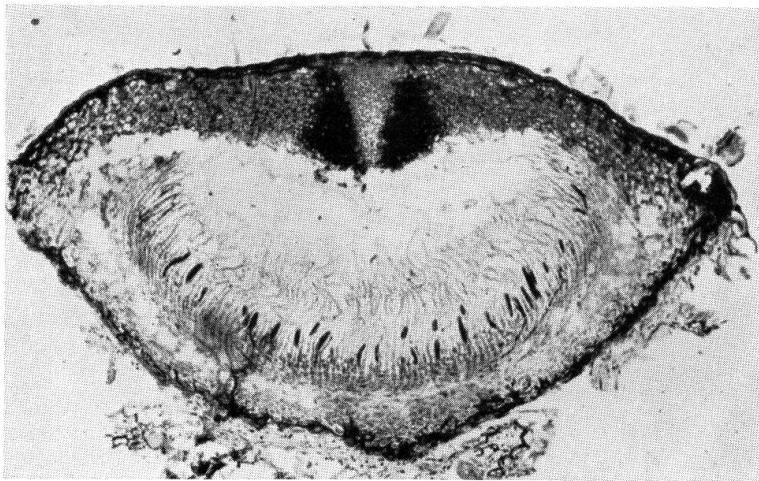


Fig. 3

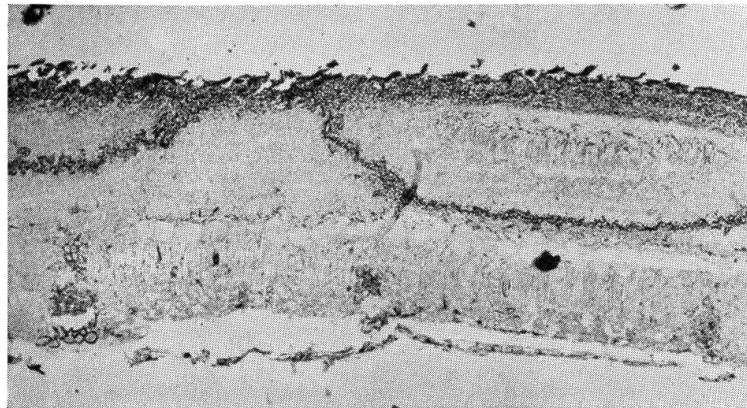


Fig. 4

Planche 12

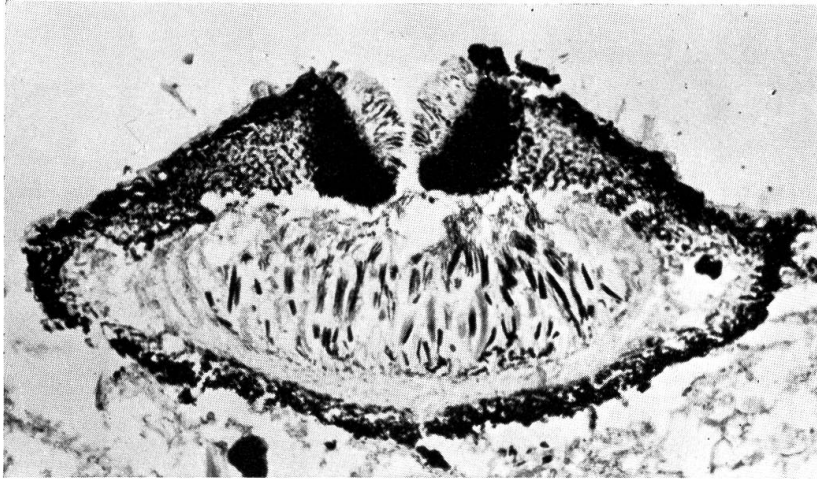


Fig. 1

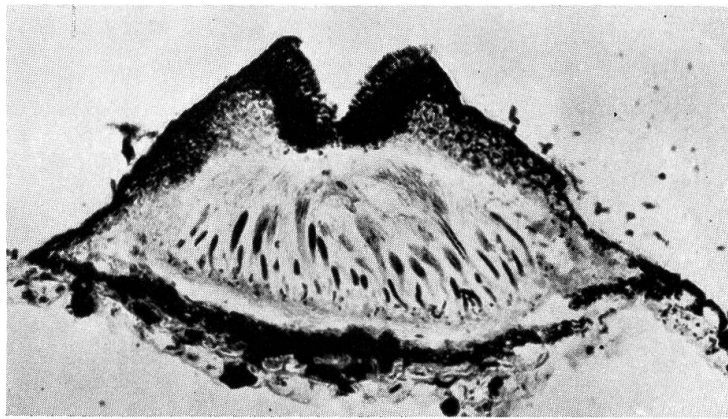


Fig. 2

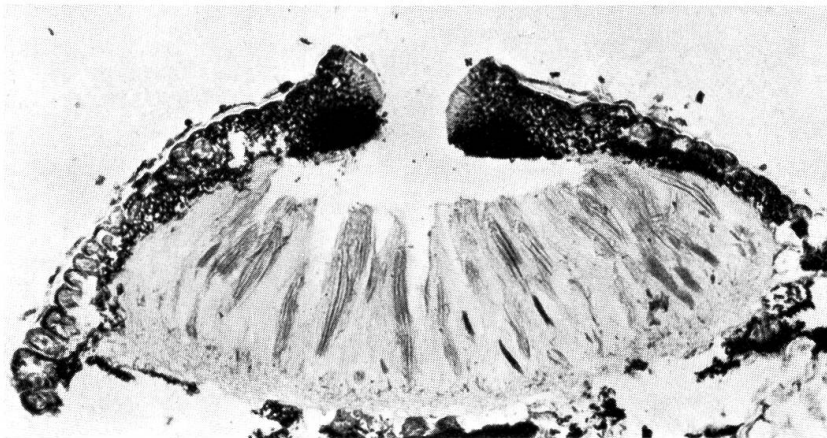


Fig. 3

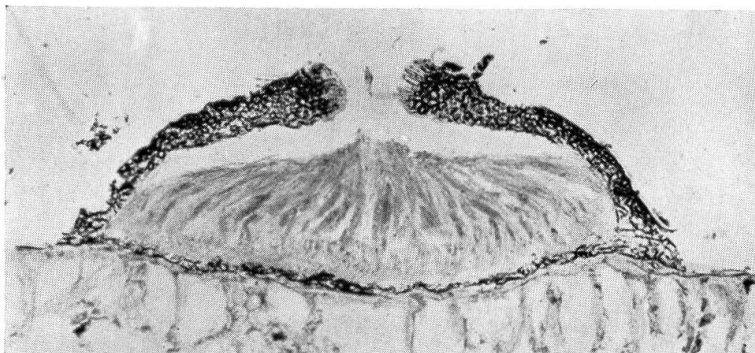


Fig. 4